

信州大学工学部

正会員 小西純一

1. まえがき 粒状体の強度・変形を支配する微視的要因の1つに、粒子表面の物理まさつ角(粒子間まさつ角) ϕ_p が挙げられる。本報告は表記について、著者より従来より行なっている光弾性を利用して2次元モデルの単純せん断試験によって得られた結果に考察を加えたものである。試験機、実験方法などは従来と同じであるのでここでは省略する。¹⁾

2. 使用した粒子 従来より用いている3種の径のエポキシ樹脂丸棒の表面に、乾燥したベントナイト粉末を付着せし(まぶす)ことにより、 ϕ_p の値を増大させた。厳密な意味では、必ずしも物理まさつ角の増大とは異なるかもしれないが、一面せん断試験機を用いて、丸棒を十文字状に、こすり合せると、図-1に示したように、見かけのまさつ角が変化する。平均的な値をとると、 $\phi_p = 33^\circ$ となる。図中の破線は、けらつきの範囲を示している。

3. 試験結果 2次元単純せん断試験結果を図-2(a)に示す。DBと記したもののが今回の試験結果であり、D, Lと記したもののは既報より引用してある。すなはち初期間げき比 $\epsilon_0 = 0.22$ の DB($\phi_p = 33^\circ$)と D($\phi_p = 22^\circ$)を比較すると直ひずみ ϵ_N の増分 $d\epsilon_N/d\gamma$ はピーク附近ではほぼ同じであるが、 τ/σ_N は、 ϕ_p 大なる方が大きくなっている。

4. 粒子接点の方向 粒子接点における接平面の法線方向 N_i の頻度分布を調べた結果を図-3に示す。なお解析した位置は図-2(a)中に記されてある。このような分布の、集中方向 ψ' と集中度 \bar{M} ($\psi' = \frac{1}{2} \tan^{-1} (\sum n_i \sin 2\beta_j / \sum n_i \cos 2\beta_j)$, $\bar{M} = (100/M) \times \sqrt{(\sum n_i \sin 2\beta_j)^2 + (\sum n_i \cos 2\beta_j)^2}$, ただし β_j は垂直応力方向を 0° とし 90° の間に 10° ごとにした角度, n_i は $\beta_j \pm 5^\circ$ に入る N_i の頻度, $M = \sum n_i$ である)を計算して図示したのが図-2(b)である。せん断過程中における ψ' および \bar{M} の変化は、DB, D, L とともに同じ傾向を示しているが、 $\phi_p = 33^\circ$ の DB の方が、いずれの値も大きくなっている。小西・小田²⁾、小田・小西³⁾によれば、 N_i の集中方向 ψ' は概ね、最大主

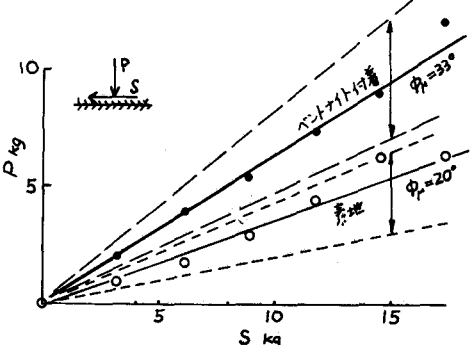
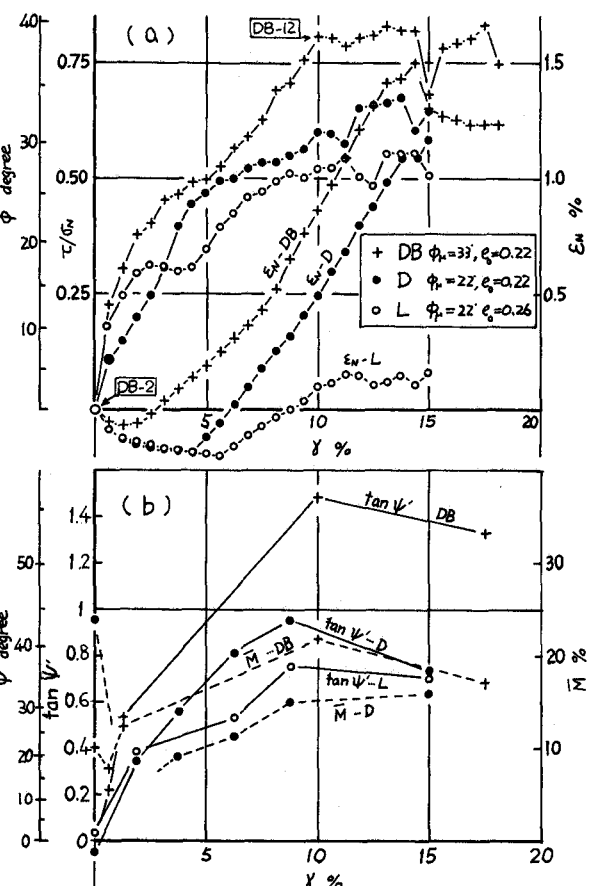


図-1 ベントナイト付着粒子の粒子間まさつ角

図-2 (a) $\tau/\sigma_N \sim \gamma \sim \epsilon_N$ 関係 (b) $\tan \psi', \bar{M} \sim \gamma$ 関係

応力の方向 ψ と一致するので、 $\tan \psi'$ を $\tan \psi$ と読みかえても大過ない。ピーク強度に至るひずみ硬化過程においては、小田⁴⁾が述べているように、Niの方向は最大主応力の方向に集中し、集中度は次第に大きくなっていることが、 $\phi_p=33^\circ$ の場合にも明らかである。

5. 粒子間さつ角の発揮について 粒状体内部の各接点では、粒々の大きさに、まさつが発揮されている。いまある接点における伝達力の方向 θ_i とNiの方向 β_i の差を δ_i とおく (ie. $\delta_i = \theta_i - \beta_i$) と、 δ_i はこの接点において発揮されているまさつ角であり、 $|\delta_i| = \phi_p$ となれば、すべりが生じる。この δ_i を測定した1例を図-4に示した。伝達力が小さい接点では、 δ_i が測定しにくく、 $|\delta_i| < 10^\circ$ では $\delta_i = 0^\circ$ と読み取らざるため、 θ_i 付近に凹凸があるが、全体としては、正規分布状(平均値 0°)とみなせよう。ばらつきを考慮に入れた ϕ_p の値の範囲内に δ_i が分布していることは、著者が $\phi_p=22^\circ$ の場合について報告した内容と一致している。

6. 最大主応力方向と τ/σ_N の関係について 小田・小西³⁾は、 τ/σ_N と $\tan \psi$ の間に次のような関係があることを導いた:

$$\frac{\tau}{\sigma_N} = K \tan \psi. \quad (1)$$

式(1)中の定数 K には、間げき比、垂直応力、粒子構造などに無関係であるとした。そして Roscoe et al.⁵⁾のデータを用いて、式(1)の妥当性を検証し、Leighton Buzzard Sandについては $K=0.58$ であるとした。図-5において、実線の直線で示したのがそれである。

いま、2次元単純せん断試験の結果を、 ψ と ψ' とが概ね等しいと考えて、図-5中にプロットしてみた。見方によつては、 $K=0.58$ の直線に載つてゐるとも言えようである。もし同一直線にのると考えると、には中にも無関係で、何か重要な意味をもつ物理定数であるかも知れない。

主応力方向に関する正確なデータの集積が望まれる。

7. あとがき 砂などで ϕ_p の影響を調べようとするとき、他の要因と完全に区別することがむずかしい。また伝達力、発揮されているまさつ角などもわからぬ。このような点を補完する意味で、簡単な2次元モデルによる実験結果を紹介した。実験に当つては、西本 宏君が多大の労をとってくれた。感謝します。文獻 1) 佐々木紀紀 1973. 2), 3) 第9回土質工学研究発表会 1974. 4) Oda, Soils and F.

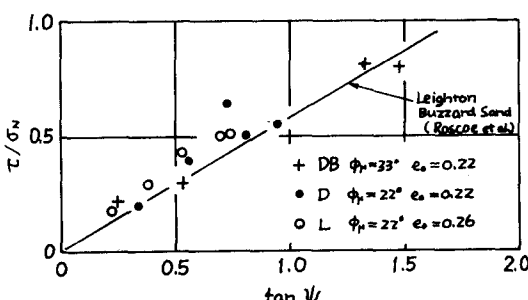


図-5 τ/σ_N と $\tan \psi$ の関係

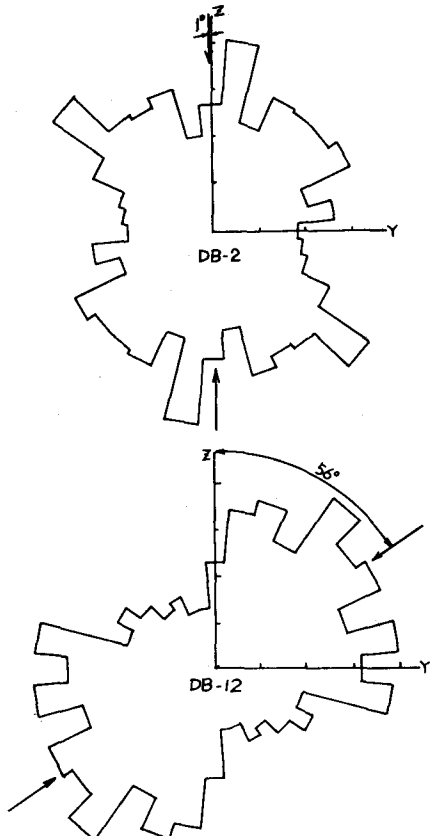


図-3 法線方向 Ni の頻度分布

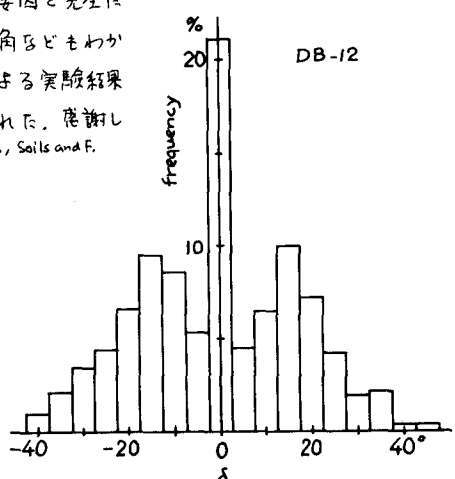


図-4 発揮されたまさつ角の頻度分布